

# 발광다이오드를 이용한 초정밀 변위 측정용 마이크로 엔코더 칩 제작

김근주\*, 김윤구\*

## Fabrication of Optical Micro-Encoder Chips for Sub-Micron Displacement Measurements

Keunjoo Kim\* and Yun Goo Kim\*

### ABSTRACT

The integrated chip of optical micro-encoder was fabricated and the feasibility as displacement measurement device was confirmed. The geometry of micro-encoder was designed to utilize the optical interference effect on the second order of diffracted beams. The hybrid-type micro-encoder consisted with light emitting diode, photodiode, polyimide wave-guide and micro-lens provides stable micro-encoding results for high speed displacements. The measurement shows the resolution of displacement of  $1.00 \pm 0.02 \mu\text{m}$  for the grating with scale pitch of  $2.0 \mu\text{m}$ .

**Key Words :** Micro-Encoder (초정밀변위측정기), Optical Interferometer (광학간섭계), Semiconductor Microlithography (반도체미세가공기술), RIE (건식식각장치), LED (발광다이오드), PD(수광다이오드), Waveguide (도파로), Grating (회절격자)

### 기호설명

$\vec{E}$  = electric field

$\vec{k}$  = wave vector

$\Delta\phi$  = phase shift

$\lambda$  = wavelength

$\theta$  = diffraction angle

$D$  = grating pitch

### 1. 서론

반도체공정이나 공장자동화의 초 정밀 제어 및 계측분야에서 변위, 속도, 가속도 및 압력 등 각종

지능형 집적센서(intelligent and integrated sensor)에 적용할 수 있는 마이크로 엔코더의 개발은 매우 관심있는 분야이다. 초고집적회로 (ULSI)의 가공에 필요한 미소거리제어, 기록밀도를 높이기 위한 트랙간 거리를 줄이는 고집적 광디스크 (DVD) 분야 및 정밀기계가공을 위한 자동선반의 초 정밀 변위 제어 메커니즘은 필수적이다.

이러한 고 분해능을 갖는 사물간의 거리를 측정하기 위한 광 센서에는 두 종류로 분류되는데, 레이저 파장에 의존하는 마이켈슨 간섭계 (Michelson interferometer) 와 회절 격자간의 스케일 피치 (scale pitch) 에 따라 변하는 엔코더(encoder) 가 있다.<sup>(1)</sup> 회절광 간섭계의 특징은 압력, 습도, 공기 조

\* 광전자반도체부, 부설연구소

성 등 대기의존성이 없고, 적용온도에 따라 적절한 재료를 선정하여 측정 정밀도를 높일 수 있으며, 측정길이는 대략 1 m 이하의 물체에서 가능하다. 정밀변위측정이 가능한 엔코더의 크기를 소형화함으로써 압전소자, 소형 초음파모터, 미소 X-Y 스테이지 (stage), 소형 메니퓰레이터 (manipulator) 및 고속장치등과 같은 미소 액츄에이터 (actuator) 와 결합할 수 있는 많은 응용잠재력을 갖고 있다. (2)

엔코더의 소형화에 따른 광 소자 요소들을 Si 칩(chip) 위에 집적하고 있다. 광 요소들로는 광원인 레이저다이오드(LD)나 발광다이오드 (LED)가 있으며, 수광소자로는 포토다이오드(PD)가 있고, 광을 이송시키기 위한 도파로 (waveguide)와 스케일(scale)용 회절격자(grating)로 구성되어 있으며, 단일 칩으로 집적하기 위한 신호 처리용 집적회로(IC)가 첨가되어진다. 이러한 집적화된 변위센서는 노광 및 식각, 플라즈마 박막증착 및 결정 성장 등, 반도체공정기술의 향상과 더불어 급속한 발전을 거듭하고 있다. (3)

본 연구에서는 발광/수광 소자를 광전자반도체 (Optel)의 850 nm AlGaAs LED와 Si p-i-n (p-Si/intrinsic-Si/n-Si) PD를 이용하여 하이브리드형 회절광 간섭 마이크로 엔코더를 설계 제작하려 한다. 도파로는 4 인치 크기의 c-Si 기판을 이용하여 리소그래피 공정을 도입하여 제작하고 증착한 실리콘 산화막 위에 고분자박막 (polyimide)를 스펀 코팅하며, LED와 PD는 부착시킨다. 제작된 엔코더는 2 μm 회절격자 피치 (grating pitch)을 사용하여 변위가 1.00 μm 주기로 측정할 수 있도록 회절격자의 선폭비를 0.5로 하였다.

## 2. 변위측정 원리

광을 이용한 정밀측정분야에 있어서는 기본적으로 광의 간섭 및 회절현상을 응용하여 광학계를 구성하고 측정대상에 적합한 형태로 변형할 수 있으며, 특히 레이저 및 반도체레이저 다이오드의 개발로 더욱 초 소형화 되어지고 있다. (2)

전자기파로서의 광은 전파방향 (propagation direction)에 수직인 방향으로 각각 전계와 자계를 형성하면서 진행할 때에 두개의 파가 다음과 같은 전계  $E_1$  과  $E_2$  의 파동을 형성하여 (4) 회절격자의 이동에 의한 도플러효과의 위상차로 인한 간섭을 일

으킨다.

$$\vec{E}_1 = \vec{E}_{01} \cos(\vec{k}_1 \cdot \vec{r} - \omega t + \phi_1) \quad (1)$$

$$\vec{E}_2 = \vec{E}_{02} \cos(\vec{k}_2 \cdot \vec{r} - \omega t + \phi_2) \quad (2)$$

식(1), (2) 에서  $k$  는 파수벡터,  $\omega$  는 진동수,  $\phi$  는 위상을 나타낸다. Fig. 1 에서 식 (1), (2) 에서와 같이 임의의 점 P에서 교차되는 전계의 표현은 중첩의 원리에 의해서 다음의 식 (3)으로 표현할 수 있다.

$$\vec{E} = \vec{E}_1 + \vec{E}_2 \quad (3)$$

식 (3)으로 표현되어지는 전계는 광 센서에 의한 광신호로 측정하기 위해서 전계 벡터의 스칼라 곱을 하여 시간에 대한 평균을 취하여 임의의 점 P에서 교차하는 두개의 전계에 의한 광 세기 변화를 다음과 같이 표현할 수 있다.

$$\begin{aligned} I &= \epsilon_0 c \langle E^2 \rangle = \epsilon_0 c \langle \vec{E} \cdot \vec{E} \rangle \\ &= \epsilon_0 c \langle (\vec{E}_1 + \vec{E}_2) \cdot (\vec{E}_1 + \vec{E}_2) \rangle \\ &= \epsilon_0 c \langle E_1^2 + E_2^2 + 2(\vec{E}_1 \cdot \vec{E}_2) \rangle \\ &= I_1 + I_2 + I_{12} \end{aligned} \quad (4)$$

식 (4)에서  $\epsilon_0$  는 진공의 유전율이고  $c$  는 광속도이며,  $I_1$  은 식 (1)의  $E_1$  이 갖는 광 세기를 나타낸 것이며,  $I_2$  는 식 (2)의  $E_2$  가 갖는 광 세기를 나타낸 것이다.  $I_{12}$  는  $E_1$  과  $E_2$  간의 간섭효과로 나타난 광세기의 변화로 다음과 같이 표현된다.

$$I_{12} = \epsilon_0 c \vec{E}_{01} \cdot \vec{E}_{02} \cos(\Delta\phi) \quad (5)$$

$$\Delta\phi = (\vec{k}_1 - \vec{k}_2) \cdot \vec{r} + (\phi_1 - \phi_2) \quad (6)$$

식 (6)은 두개의 전계  $E_1$  과  $E_2$  의 위상차를 나타낸 것이다. 두 광원의 세기가 동일한 경우, 즉  $I_1 = I_2 = I_0$  (또는  $|E_{01}| = |E_{02}| = |E_0|$ )인 경우, 식 (4)의 광 세기는 다음과 같이 나타낼 수 있다.

$$\begin{aligned} I &= 2I_0(1 + \cos(\Delta\phi)) \\ &= 4I_0 \cos^2\left(\frac{\Delta\phi}{2}\right) \end{aligned} \quad (7)$$

식 (7)은 진행하는 두개의 전계가 공간상의 임의의 점 P에서 만드는 세기의 변화를 나타낸 것으로 이는 두 전계가 갖는 위상차이의 변화에 의해 결정된다.

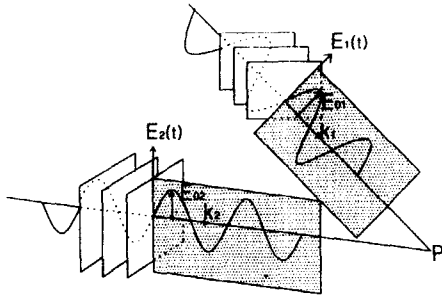


Fig. 1 The superposition principle of two diffracted light beams at a point, P

또한 두 광원이 동일한 파장을 갖는 경우 ( $|k_1|=|k_2|$ )에 대해서 광을 회절격자 (grating)에 입사시킴으로써 만들어진 회절광은 회절격자의 이동으로 인한 도플러효과 (Doppler effect)로 슬릿 (slit) 간격 (scale pitch)의 위상변화가  $\Delta\phi = \phi_1 - \phi_2$  만큼 생긴다. 도플러효과에 의한 위상변화는

$$\Delta\phi = \int \Delta\omega dt \tag{8}$$

과 같이 나타낼 수 있으며,  $\Delta\omega$ 는 다음과 같이 도플러효과에 의한 주파수 변화량으로 표현된다.

$$\Delta\omega = \frac{\omega}{c}(2v \sin \theta) \tag{9}$$

여기에서  $\omega$ 는 광 주파수이며,  $v = dx/dt$ 는 회절격자 스케일의 이동속도,  $\theta$ 는 입사광의 회절각 또는 입사각이고,  $c$ 는 광속도를 나타낸다. 회절 격자점에서의 입사광의 각도와 파장과의 관계식은 다음과 같은 브래그 (Bragg) 조건식으로 나타낼 수 있으며, 이동변위가 회절격자간격  $D$ 만큼 변위가 발생된 경우이다.

$$2D \sin \theta = \lambda \tag{10}$$

식 (8-9)로부터 회절광의 빔 1, 2의 중첩원리에 의해 도플러효과에 따른 위상변화는 다음과 같다.

$$\Delta\phi = \frac{2\pi}{D} \Delta x \tag{11}$$

즉 위상변화는 스케일의 이동변위  $\Delta x$ 와 회절격자의 간격  $D$ 로 제어된다.

### 3. 변위 측정용 회절광 하이브리드형 엔코더 제작

회절광의 간섭효과를 이용하여 하이브리드 (hybrid)형 엔코더를 Fig. 2의 개략도에서와 같이 설계하였다. 실리콘 반도체 기판 위에 습식 식각 공정을 이용하여 Si 결정의 <100>면을 따라 V-groove 홈을 파고,<sup>(5)</sup> 광원으로는 발광파장이 850 nm인 AlGaAs 발광다이오드를 이용하였다. 검출기로는 Si p-i-n 포토다이오드 (photodiode; PD)를 이용하였으며 광 도파로는 식각 후 고분자 (polymer)를 이용하였다.

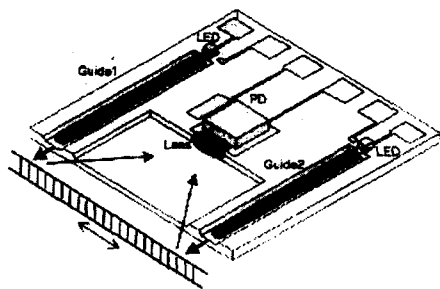


Fig. 2 The schematic of a hybrid-type micro-encoder.

Fig. 3은 회절광 간섭을 이용한 hybrid형 광 마이크로 엔코더 칩(chip) 설계공정을 나타내었다. 먼저 포토레지스트 (photoresist; P/R)를 코팅하여 Si 릿지 (ridge)를 형성하기 위해 노광 및 패터닝 (pattern)을 형성한 다음, PH 농도 13의 30%의 강염기성 KOH 용액으로 노출된 Si 기판을 230  $\mu\text{m}$  깊이로 식각한다. 습식 식각은 비교적 에너지 밴드

갭이 작은 Si 반도체에 수용액의 에너지분포함수가 비교적 넓은 강염기의 산화/환원 (red-oxidation) 과정을 거치면서 정공 (hole)의 교환으로 인해 화학적 분자결합이 분해된다(Fig. 3-a). 식각 경사면은 각도가 54.7° 정도로 기울어지며 이는 원자밀도가 높은 <111>면을 나타내고 양호한 거울 반사면으로 이용될 수 있다.<sup>(5)</sup> 잔류 P/R 을 제거한 후 식각된 면에 다시 플라즈마 증착 (PECVD) 공정을 통해 전기적으로 절연하기 위한 SiO<sub>2</sub> 산화막을 증착하고, 그 위에 다시 PD 나 LED 의 n-면 전극용 Al 금속패턴 (metal pattern)을 열 증착 방법으로 형성하였다(Fig. 3-b).

PMMA (polymethylmethacrylate)를 6 μm 정도의 두께로 코팅하여 렌즈 및 광 도파로를 형성하였다 (Fig. 3-c).<sup>(6)</sup> PD 나 LED 를 솔더 범퍼 (solder bumper)로 장착하고 와이어 본딩 (wire bonding) 하였으며(Fig. 3-d), 칩 (chip) 크기는 1cm x 1cm 이다.

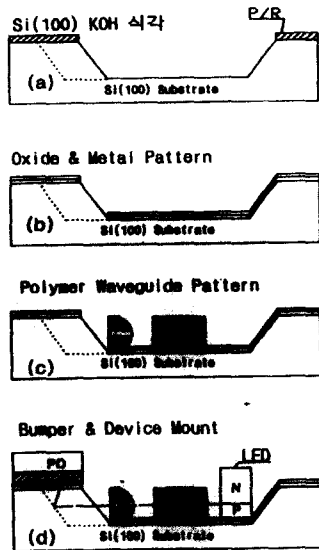


Fig. 3 Lithographic design processes of the hybrid-type micro-encoder

하이브리드 (Hybrid) 엔코더 광원용 측면발광 (edge emitting) LED 를 Fig. 4 와 같이 제작하였다.

광전자반도체 (Optel)의 AlGaAs LED (OPA 8512) 박막을 이용하여 SiCl<sub>4</sub>/N<sub>2</sub>/Ar 가스분위기에서 RIE (reactive ion etching) 건식 식각을 한 후 (Fig. 4-a),<sup>(7)</sup> 다시 습식 식각을 통해 23 μm 정도로 식각함으로써 (Fig. 4-b) p-n 접합이 노출되고 발광출력은 1 mW 정도가 되도록 부하를 인가하였다.

AlGaAs DH (double heterostructure) 구조는 GaAs (100) 기판 위에 n-형 Ga<sub>0.67</sub>Al<sub>0.33</sub>As 층을 150 μm 두께로, p-형 Ga<sub>0.84</sub>Al<sub>0.16</sub>As 층을 0.7 μm, 그리고 다시 p-형 Ga<sub>0.84</sub>Al<sub>0.16</sub>As 층을 18 μm 높이를 갖고 있다. 전자 운반자 농도는 3.3 x 10<sup>17</sup>/cm<sup>3</sup> 이고 정공농도는 1.6 x 10<sup>18</sup>/cm<sup>3</sup>으로 도핑 되었으며 광 출력은 50 mA 의 전류 인가시에 11.4 mW 를 나타내었다. 피크파장은 862 nm 이고 발광응답시간은 6-9 nsec 의 분포를 나타내었다.

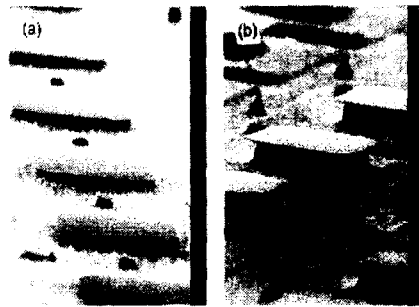


Fig. 4 SEM images of (a) RIE dry etching process of edge emitting LED at p-n junction area and (b) wet etching process with the KOH solution.

Fig. 5 은 PD 전극 형성시에 PD 에 입사하는 광 신호량의 효율을 증대하기 위해 Sn/Pb 물질의 솔더 범퍼 (solder bumper)를 183 °C 에서 60 μm 정도의 높이로 형성하여 Si PD 를 장착하였다. PD 의 구조는 p-i-n 구조를 갖고 있으며 응답 파장영역은 700-1050 nm 로 필터를 코팅하여 가시영역의 응답을 제거하였다 (Optel 사 HPI-2CR2 모델). 솔더링 (soldering) 되지 않은 부위의 마이크로 렌즈를 통해 들어온 회절광이 Si (111)의 식각된 면에 반사되어 p-i-n PD 의 p-면에 입사 되도록 하였다.

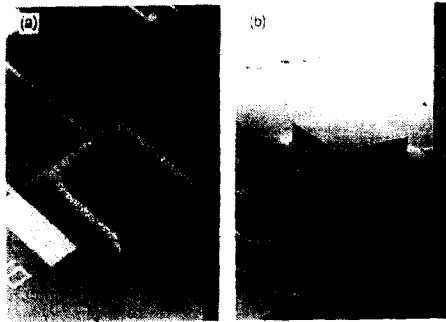


Fig. 5 (a) The solder solution for mounting the p-type electrode of PD and (b) the SEM image of the mounted PD.

Fig. 6은 PMMA 광 도파로의 단면 및 마이크로 렌즈의 SEM 사진이다. 고분자 (polymer)의 일종인 PMMA는 Si이나 금속과의 부착력이 우수하고 다양한 노광 및 현상과 공정장비의 사용이 가능하고 평탄용 레지스트 (planarizing resist)에 유용하여 다층 (multilayer)공정 및 선형응답의 현상용 레지스트 (developing resist)특징을 갖는다.

광 도파로의 제작은 Si 기판 위에 SiO<sub>2</sub>를 PECVD 방법으로 증착하고,<sup>(8)</sup> PMMA를 스핀 코팅 (spin coating)한 후 다시 P/R를 도포하여 패턴 (pattern)을 형성한 후 RIE 건식 식각 함으로써 폭은 40 μm이고 높이가 2.5 μm인 PMMA 도파로를 제작하였다. PECVD 장치를 이용한 SiO<sub>2</sub> 박막은 SiH<sub>4</sub>가스와 O<sub>2</sub>가스분위기에서 RF 플라즈마를 이용하였으며 2-5 mTorr의 압력과 300 °C의 온도분위기에서 증착하였다. 두께는 2 μm이고 엘립소메트리 (ellipsometry) 측정파장이 850 nm인 영역에서 굴절률(refraction index)은 1.47로 비교적 화학적 평형조성 (stoichiometric)의 박막을 형성하였다.

PMMA 코팅은 2500 rpm에서 회전하였고, 180 °C에서 1시간동안 충분히 가열 (baking)하여 탈수시켰다. P/R(S9912PR) 코팅을 40 sec 동안 4000 rpm에서 회전하여 예열 (prebaking)을 70 °C에서 30 min 동안 한 다음 노광 및 현상을 각각 5 sec와 7 sec 동안 하였다. 다시 70 °C에서 20 min 동안 후열 처리 (post-baking)하여 P/R 패턴 (pattern)을 형성하였고, PMMA의 식각은 RIE 방식으로 Cl<sub>2</sub> 가스분위기에서 수행하였다.

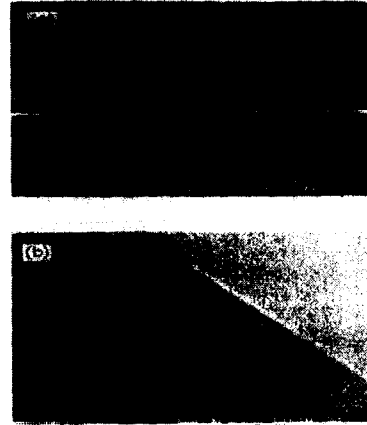


Fig. 6 (a) Cross-sectional SEM image for the waveguide structure of PMMA/SiO<sub>2</sub>/c-Si and (b) SEM image of the fabricated PMMA micro-lens.

Fig. 7은 제작된 회절격자 스케일(scale)의 평면도 및 단면도를 나타낸다. 스케일의 피치 (pitch)는 광원의 파장보다 긴 간격을 가져야 하며 파장 850 nm에 대해서 2 μm의 크기를 갖도록 설계하여 3차 회절 피크세기 (peak intensity)까지 형성할 수 있도록 설계하였고, Si 기판 위에 SiO<sub>2</sub> 산화막을 증착하였다.

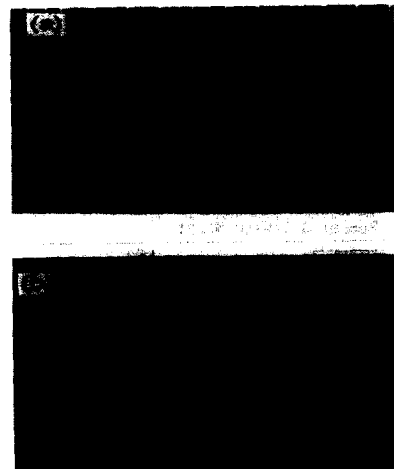


Fig. 7 (a) Plane view of SEM image for the linear grating with the scale pitch of 2 μm and (b) the cross-sectional image.

다시 Al 금속 (metal)을 RF 스퍼터링 (sputtering) 방법으로 5분 동안 증착하여 400 nm의 두께를 확보하고 70 °C로 가열 (baking)한 다음 P/R를 회절격자 피치 (gating pitch)가 2 μm이 되도록 패턴닝 (patterning)하였으며 Cl<sub>2</sub> 가스분위기에서 RIE 식각한 후 다시 SiO<sub>2</sub> 박막을 증착하였다.

Fig. 8은 제작된 하이브리드형 마이크로 엔코더 칩 (chip)의 제작사진을 보인다. 두 개의 LED에서 나온 광이 도파로를 통과하여 이동물체에 부착된 회절격자에서 회절되어 반사한 다음 다시 마이크로 렌즈에 집광되어 간섭을 일으키며 PD에 수광된다. 수광된 빛이 역 방향으로 부하가 인가된 PD에서 전자-정공 쌍을 형성하며 금속전극을 통하여 광 전류를 출력신호로 얻는다.



Fig. 8 The image of the fabricated hybrid-type micro-encoder.

#### 4. 엔코더 특성분석

Fig. 9에 폭 40 μm의 Air/PMMA(2.5 μm)/SiO<sub>2</sub>/c-Si 광 도파로의 특성을 단면적으로 나타내었다. 세로축 방향의 길이에 따른 광량의 세기가 분산 (dispersion) 없이 매우 커서 양호한 광 도파 특성을 보임을 알 수 있다. PMMA의 굴절율은 1.48로 비교적 낮으며 Fig. 10에서와 같이 400 nm 이상의 장파장 영역에서 투과도가 90% 이상으로 매우 양호하였다. 반면에 반사율은 10% 정도로 매우 낮아 광 도파로 렌즈제작 특성이 매우 양호함을 알 수 있다.

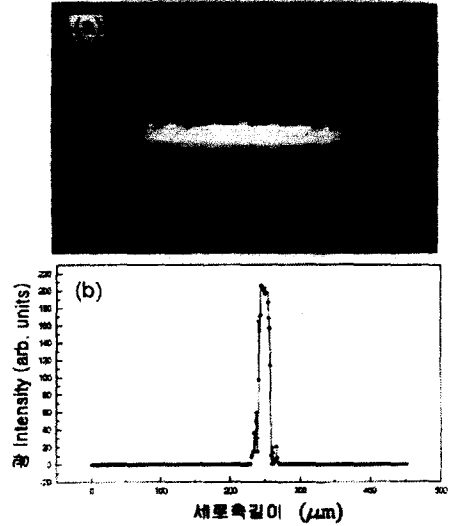


Fig. 9 The optical transport property of wave-guide of Air/PMMA (2.5 μm)/SiO<sub>2</sub>/c-Si with a width of 40 μm: (a) optical image and (b) the transmitted light intensity.

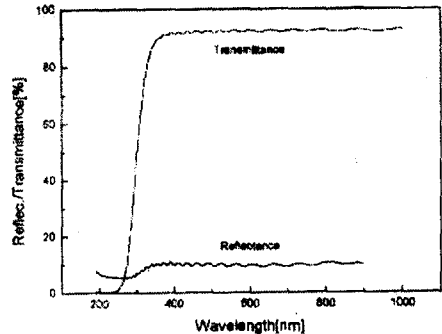


Fig. 10 The optical transmission and reflection rates of PMMA wave guide.

다중 슬릿 (slit)에 의한 프라운호퍼 (Fraunhofer) 회절의 분포함수는 슬릿 (slit)의 수  $N=15$ , 회절격자 피치 (grating pitch)와 슬릿 (slit)의 폭  $b=D/2=1\mu\text{m}$ 에 대해서 입사광의 파장  $\lambda=850\mu\text{m}$ 와 입사각도  $\theta=0$ 의 함수로 나타내어진다. 회절각도  $\theta$ 에 대하여 회절광의 전계에 의해 형성된 회절광 세기는 다음과 같이 나타낸다.<sup>(4)</sup>

$$I(\theta, \lambda) = I_0 \left( \frac{\sin \beta}{\beta} \right)^2 \left( \frac{\sin(N\alpha)}{\sin \alpha} \right)^2 \quad (12)$$

$$\alpha(\theta, \lambda) = \frac{\pi D}{\lambda} (\sin \theta_1 + \sin \theta) \quad (13)$$

$$\beta(\theta, \lambda) = \frac{\pi b}{\lambda} (\sin \theta_1 + \sin \theta) \quad (14)$$

위의 식 (12)를 이용하여 시뮬레이션 (simulation)된 회절차수의 세기 비와 실제의 회절 차수 패턴 (pattern)을 Fig. 11 에서 비교하였다. 회절격자 피치가 2 μm 이고 선폭이 0.5 인 경우로 3 차 회절 피크세기 (peak intensity)까지 잘 일치함을 알 수 있다.

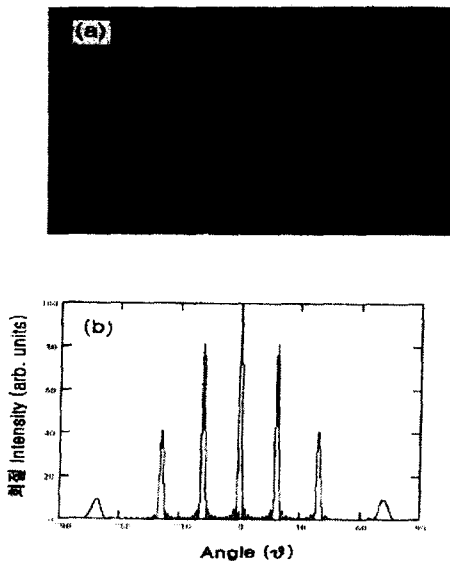


Fig. 11 (a) The diffraction pattern for the scale with the pitch of 2 μm and the line width ratio of slit to pitch of 0.5 and (b) the corresponding simulated intensity of diffracted beams.

Fig. 12 는 개발된 회절광 마이크로 엔코더 칩에 대한 오실로스코프 광출력 신호를 나타낸 것이다. Fig. 2 에서처럼 두 개의 발광다이오드 (LED)로 부터 나온 광은 도파로 (wave guide)를 통과하여 이

동 물체에 부착된 회절격자의 scale 에서 각각 회절하여 반사된 광의 제 2 차 피크 (peak)가 40° 범위 안에서 마이크로 렌즈 (lens)를 통하여 수광 센서인 포토다이오드 (PD)에 입력됨으로써, 서로 간섭을 일으키고 광세기의 변화가 일어나며 광 전류 (photocurrent)로 변환되어 전류신호 또는 전기저항을 통한 전압신호로 오실로스코프 (oscilloscope)에 아날로그 (analog) 신호로 출력되어진다. 물체에 부착된 스케일 (scale)의 이동속도가 10 에서 200 μm/sec 로 증가함에 따라 주파수가 9.82 에서 204.1 Hz 로 각각 변화한다. 이러한 회절광 간섭계의 측정변위의 평균분해능은 1.00 +/- 0.02 μm 임을 알 수 있다.

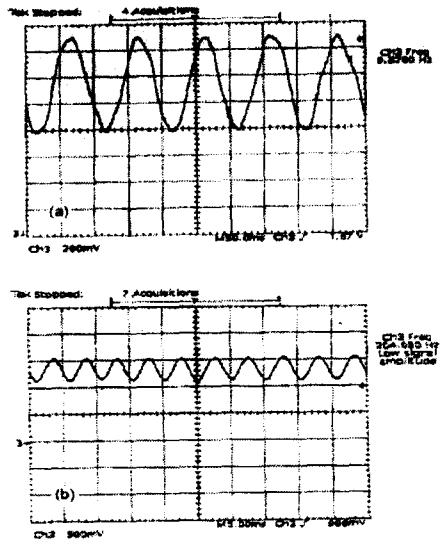


Fig. 12 Displacement measurements for translated speeds of grating scale: (a) 10 μm/sec and (b) 200 μm/sec.

회절격자의 스케일이 X-Y 스테이지에 부착되어 초당 10 마이크로 움직일 경우 포토다이오드에 입력되어 오실로스코프에 기록되는 광 전류의 세기 변화가 9.82 회 정도 발생되고, 초당 200 마이크로 이동하는 회절격자에 대해 광 전류의 세기변화는 204.1 회 정도 발생하게 된다. 따라서, 한 개의 광 전류 펄스 (pulse)에 의한 변화량은 마이크로 엔코더의 분해능에 해당하는 1 μm 정도이다.

이와 같은 광신호의 펄스 (pulse)를 제공하는 아날로그 신호의 광학계인 마이크로 엔코더 칩에, 광신호를 제어하여 디지털화 (digitization)하는 전자제어계가 첨부되어지고 분주회로 (subdividing electronic circuits)로 신호를 더욱 세분화하면 미크론 이하의 이동변위에 대한 정밀측정이 가능하게 된다.

### 5. 결론

발광다이오드를 이용한 회절광 간섭의 하이브리드형 마이크로 엔코더를 설계 및 제작하였고 특성을 분석하였다. 실리콘기판에 리소그래피하여 패턴을 식각하였으며 도파로 및 수/발광소자를 부착하였다. 제작된 850 nm 광원을 이용한 마이크로 엔코더는 2  $\mu\text{m}$  회절격자의 스케일 (scale)크기에 대하여 선폭비를 0.5로 하였으며, 회절격자의 2 차 회절 피크 (peak)을 이용하여 간섭을 이트킨 빔을 마이크로 렌즈를 통해 포토다이오드에서 수광하였고 측정변위가 1.00  $\mu\text{m}$  로 양호한 변위측정특성을 보였다. 도파로는 고분자 (polymer)의 일종인 PMMA 를 이용하였으며 기관으로는 4 인치크기의 c-Si 반도체를 사용하였다. 제작된 엔코더는 크기가 1cm x 1cm 로 비교적 크게 제작되었으며, 차후에 더욱 소형화될 수 있고 또한 LED 광원 대신 레이저다이오드를 사용함으로써 향상되어 질 수 있다.

### 후 기

본 연구는 선도기술 개발사업 (G7 Projects)의 초소형 정밀기계 기술개발 (MEMS) 사업분야에 대한 광전자반도체계의 “광 마이크로 엔코더 개발” 지원으로 수행되었음.

### 참고문헌

1. Lin, J-D. and Kuo, H-B., “Development of a New Optical Scale System by the Diffractive Phase Interference Method,” Meas. Sci. Technol. Vol. 6, pp. 293-296, 1995.
2. Miyajima, H., Yamamoto, E., Ito, M., Hashimoto, S., Komazaki, I., Shinohara, S. and Yanagisawa, K., “Optical Micro Encoder Using a Vertical-Cavity Surface-Emitting Laser,” Sensors and Actuators A Vol. 57, pp. 127-135, 1996.
3. Sawada, R., “Integrated Optical Encoder,” Transducer '95, Stockholm, Sweden, pp. 281-284, 1995.
4. Hecht, E., “Optics,” 3<sup>rd</sup> ed. pp. 378-381 and 451-453, Addison-Wesley, New York, USA, 1998.
5. Sadler, D. J., Garter, M. J., Ahn, C. H., Koh, S. and Cook, A., “Optical Reflectivity of Micromachined {111}-Oriented Silicon Mirrors for Optical Input-Output Couplers,” J. Micromech. Microeng. Vol. 7, pp. 263-269, 1997.
6. White, V., Ghodssi, R., Fish, G., Herdey, C., Liu, H., Denton, D. D. and McCaughan, L., “A New Method for Producing Graded Index PMMA Waveguides,” IEEE Photonics Technol. Lett. Vol. 7, No. 7, pp. 772-773, 1995.
7. Shimokawa, F., Tanaka, H., Uenishi, Y. and Sawada, R., “Reactive-Fast-Atom Beam Etching of GaAs Using Cl<sub>2</sub> Gas,” J. Appl. Phys. Vol. 66, No. 15, pp. 2613-2618, 1989.
8. Bazylenko, M. V., Gross, M., Allen, P. M. and Chu, P. L., “Fabrication of Low-Temperature PECVD Channel Waveguides with Significantly Improved Loss in the 1.50-1.55-Micron Wavelength Range,” IEEE Photonics Technol. Lett. Vol. 7, No. 7, pp. 774-776, 1995.